

APC-II (金沢 2016/7/6)



## 実験説明(2) (非定常圧力計測)

宇宙航空研究開発機構  
次世代航空イノベーションハブ  
○小池 俊輔

1

APC-II (金沢 2016/7/6)



関連情報, 文献, 発表

### 1. NASA-CRM非定常圧力特性取得試験(課題1-3に対応)

<https://cfdfs.chofu.jaxa.jp/apc/upc.html>

2. Koike et al., "Unsteady Pressure Measurement of Transonic Buffet on NASA Common Research Model," **AIAA-2016-4044**, 2016.
3. 小池ら, 「JAXA2mx2m遷音速風洞におけるNASA-CRM非定常圧力データの相関解析」, 1D02, 第48回流体力学講演会/第34回航空宇宙数値シミュレーション技術シンポジウム, 2016. (明日AM)
4. 小池ら, 「JAXA2mx2m 遷音速風洞におけるNASA-CRM非定常圧力特性取得試験」, 3B04, 第53回飛行機シンポジウム, 2015.

\*文献4のみ旧スティングたわみ係数を使用. それ以外のデータは修正済み.

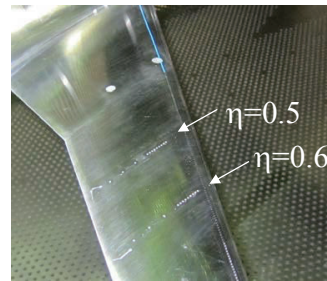
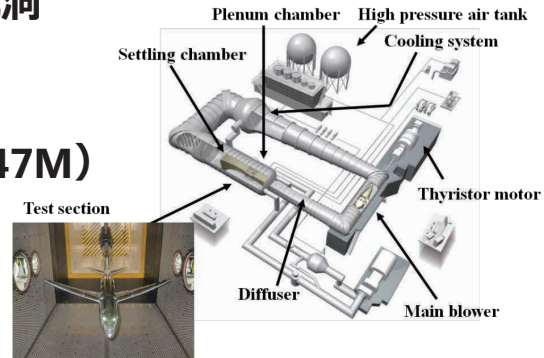
2

APC-II (金沢 2016/7/6)



風洞試験

- 風洞  
**JAXA 2m X 2m 遷音速風洞**  
 多孔壁カート(第4カート)
- 気流条件  
**M=0.85, Re=1.515M (0.947M)**  
 P0=80kPa (50kPa)  
 T0= about 323K 50°C
- 模型  
**80% 縮尺NASA CRM模型**  
 右主翼は新規に製作  
 非定常圧力センサ24点埋め込み  
 Re数ごとにラフネスを選定



3

APC-II (金沢 2016/7/6)



風洞試験条件一覧

Run No. (Experiment number)	4910	4911	4912	4913	4917	4914	4915	4916
Uniform flow and wind tunnel operation conditions								
Mach number				0.85				
Reynolds number			1.515x10 <sup>6</sup>			0.947x10 <sup>6</sup>		
Total pressure [kPa]			80			50		
Total temperature [K]			323					
Angle of stator [deg]		25		15	25	25		
Rotation frequency of fan blade [rpm]		530 - 545		595-608	530 - 545	530	533-550	
Due point [K]	265.5	266.1	261.6	256.6	257.3	260	252.6	255.9
Model conditions								
Trip dots		80kPa-1			80kPa-2	50kPa-2(*3)		50kPa-1
Marker	glued		N/A		glued	N/A		glued
Measurements								
Balance			measured			N/A		measured
Steady pressure			measured			N/A		measured
Unsteady pressure			measured			N/A		measured
Model deformation	measured		N/A		measured	N/A		measured
Note		*1			*2	*3		

\*1 Cover of middle body was opened and closed after Run No. 4910.

\*2 Trip dots were removed after Run No. 4913. The trip dots in Run No. 4917 were attached after Run No. 4916.

\*3 Transition of the boundary layer was checked using an infrared camera. A small number of trip dots were attached on the main wings.

4

APC-II (金沢 2016/7/6)



### 提供データ

- ・ 天秤データ
- ・ 圧力データ (圧力孔データ $C_p$ , 非定常データ $C_{p_{RMS}}$ )
- ・ 主翼変形量データ (圧力計測を実施した右翼を提供)

#### \* 注意点

※支持装置のたわみ補正用係数を修正したため、迎角は旧データから変化しています。

$\alpha = 4.87\text{deg}$ (修正前)  $\rightarrow \alpha = 4.94\text{deg}$ (修正後)

$\alpha = 5.92\text{deg}$ (修正前)  $\rightarrow \alpha = 6.00\text{deg}$ (修正後)

この修正に伴い、CFDは以下の実験結果と比較します。

$\alpha = 4.87\text{deg}$ (CFD)  $\rightarrow \alpha = 4.84\text{deg}$ (EXP)

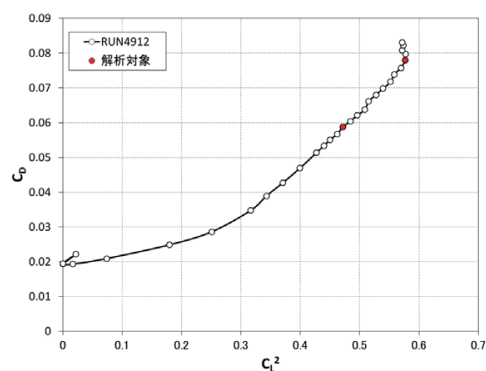
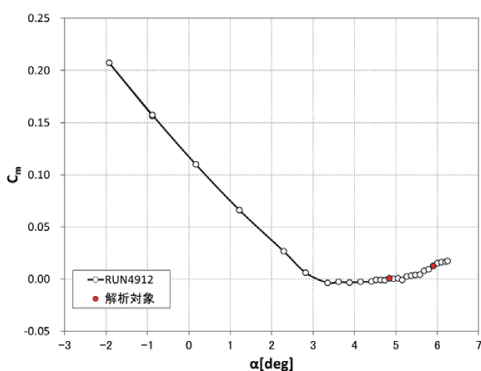
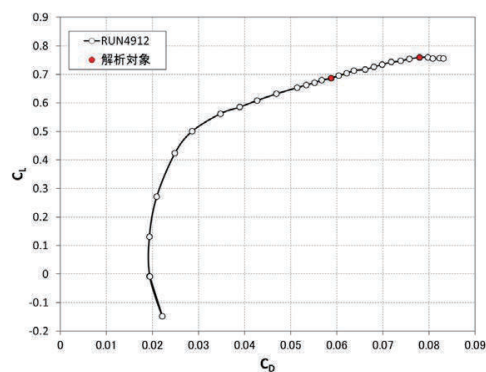
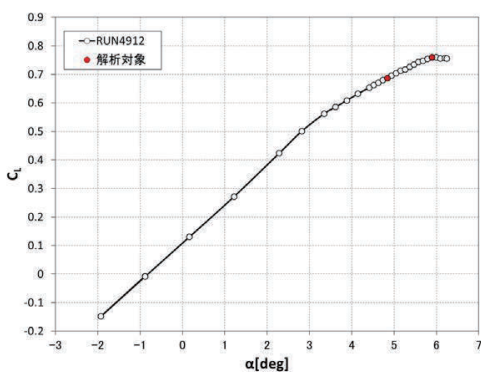
$\alpha = 5.92\text{deg}$ (CFD)  $\rightarrow \alpha = 5.90\text{deg}$ (EXP)

5

APC-II (金沢 2016/7/6)



### 天秤データ



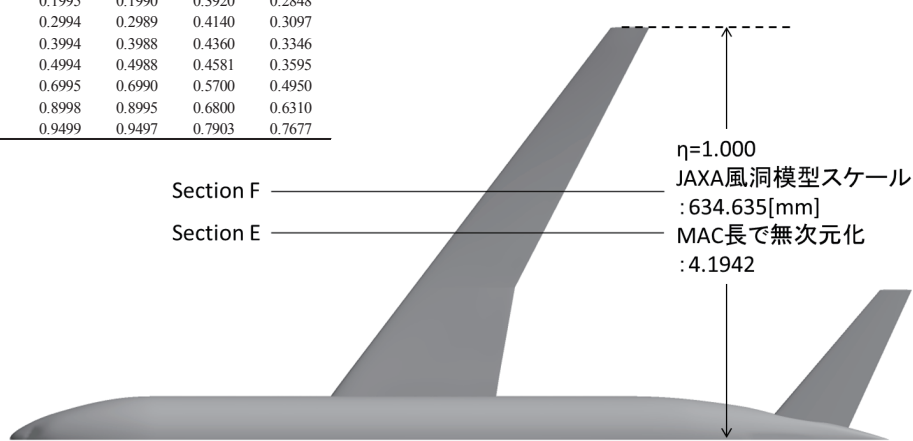
6

APC-II (金沢 2016/7/6)



## 圧力センサー位置

Ports/Sensors	Steady		Unsteady	
Spanwise location, $\eta=y/(b/2)$	0.5021	0.6028	0.4997	0.6004
Local chord length $c$ [mm]	136.27	120.63	136.27	120.63
$x/c$				
Port 1	0.0000	0.0000	0.2819	0.1605
Port 2	0.0099	0.0097	0.3040	0.1854
Port 3	0.0248	0.0245	0.3260	0.2102
Port 4	0.0497	0.0494	0.3480	0.2351
Port 5	0.0996	0.0992	0.3700	0.2600
Port 6	0.1995	0.1990	0.3920	0.2848
Port 7	0.2994	0.2989	0.4140	0.3097
Port 8	0.3994	0.3988	0.4360	0.3346
Port 9	0.4994	0.4988	0.4581	0.3595
Port 10	0.6995	0.6990	0.5700	0.4950
Port 11	0.8998	0.8995	0.6800	0.6310
Port 12	0.9499	0.9497	0.7903	0.7677

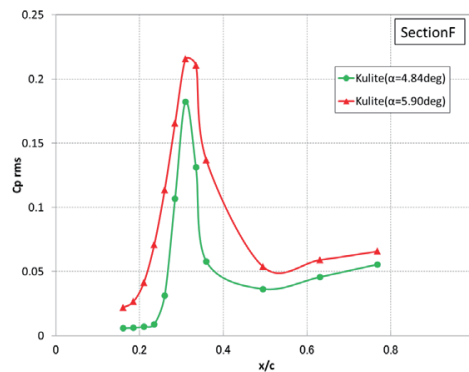
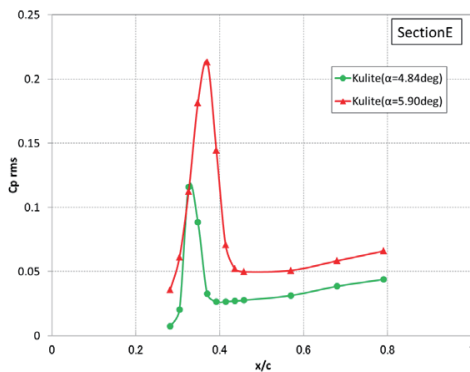
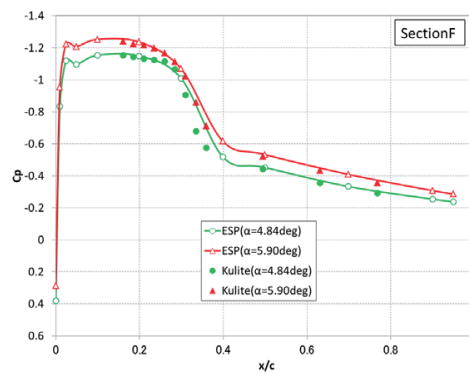
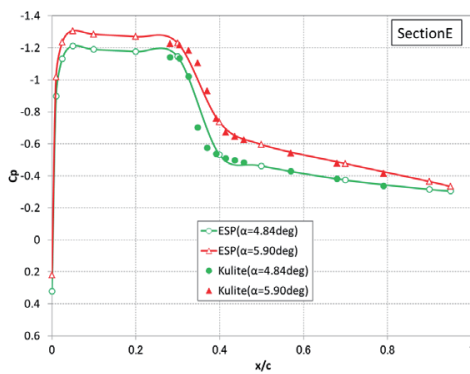


7

APC-II (金沢 2016/7/6)



## 圧力データ



8

APC-II (金沢 2016/7/6)



変形計測データ (RunNo.4911)

